

التوصية 2 ITU-R SF.1601-2

منهجيات لتقدير التداخل من الوصلة الاباطحة في الخدمة الثابتة التي تستخدم محطات المنصات عالية الارتفاع إلى الوصلة الصاعدة في الخدمة الثابتة الساتلية التي تستخدم سواتل مستقرة بالنسبة إلى الأرض في النطاق GHz 28,35-27,5

(المسألتان 218/9 و 251/4 ITU-R)

(2006-2005-2002)

مجال التطبيق

تخدم هذه التوصية منهجيات لتقدير التداخل من الوصلة الاباطحة في الخدمة الثابتة التي تستخدم محطات المنصات عالية الارتفاع إلى الوصلة الصاعدة في الخدمة الثابتة الساتلية التي تستخدم سواتل مستقرة بالنسبة إلى الأرض في النطاق GHz 28,35-27,5. وترمي هذه المراجعة إلى إضافة منهجية جديدة لتقدير التداخل بوصفه الملحق 2 وإلى إضافة توصي 2 مشيرة إلى الملحق 2. فضلاً عن تذليل جديد للملحق 1 وذلك كمثال لتطبيق منهجية الواردة في الملحق 1.

إن جمعية الاتصالات الراديوية للاتحاد الدولي للاتصالات،

إذ تضع في اعتبارها

- أ) أنه يجري تطوير تكنولوجيا جديدة تستخدم محطات المنصات عالية الارتفاع في طبقة الاستراتوسفير؛
- ب) أن المؤتمر العالمي للاتصالات الراديوية لعام 1997 (WRC-97) اتخذ ترتيبات لتشغيل محطات المنصات عالية الارتفاع في الخدمة الثابتة في النطاقين GHz 47,5-47,9 و GHz 48,2-47,9؛
- ج) أنه نظراً لأن النطاقات التي تقترب قيمتها من GHz 47 تكون أكثر عرضةً للتدهين بالمطر في البلدان المدرجة تحت الرقمين 537A.5 و 543A.5 من لوائح الراديوية، فقد أجريت دراسة لنطاق التردد GHz 32-18 لبحث إمكانية التعرف على طيف إضافي في قطاع الاتصالات الراديوية (ITU-R)؛
- د) أنه نظراً لأن النطاقات التي تقترب قيمتها من GHz 47 تكون أكثر عرضةً للتدهين بالمطر في بعض البلدان، فقد وضع المؤتمر العالمي للاتصالات الراديوية لعام 2000 (WRC-2000) ترتيباً لاستخدام محطات المنصات عالية الارتفاع في الخدمة الثابتة في النطاقين GHz 31,3-31,0 و GHz 28,35-27,5 في بعض البلدان في ظروف لا تسبب فيها تدخلاً ضاراً في الأنواع الأخرى من أنظمة الخدمة الثابتة أو الخدمات الأخرى ذات التخصيص المشترك، ولا تتطلب حماية من تلك الخدمات (الرقمان 537A.5 و 543A.5 من لوائح الراديو)؛
- ه) أن القرار 145 (WRC-03) طلب بصورة عاجلة إجراء دراسات عن المسائل التقنية وسائل التقاسم والمسائل التنظيمية من أجل تعريف معايير تشغيل المنشآت عالية الارتفاع في النطاقين GHz 28,35-27,5 و GHz 31,3-31,0؛
- و) أن النطاق GHz 28,35-27,5 موزع للخدمة الثابتة الساتلية (أرض-فضاء) على أساس أولي؛
- ز) أن الحاجة تدعو إلى إيجاد طرائق لتقدير التداخل من إرسالات من المنشآت عالية الارتفاع إلى الأرض في النطاق GHz 28,35-27,5 في مستقبلات سواتل الخدمة الثابتة الساتلية في المدار المستقر بالنسبة إلى الأرض،

توصي

- 1** بأنه يمكن استخدام المنهجية الواردة في الملحق 1 لتقدير مستوى التداخل في الإرسال من المنصات عالية الارتفاع إلى الأرض (الوصلة المابطة) في الخدمة الثابتة إلى الوصلة الصاعدة (أرض-فضاء) في الخدمة الثابتة الساتلية باستخدام سوائل مستقرة بالنسبة إلى الأرض في نطاق التردد 28,35-27,5 GHz؛
- 2** يمكن للإدارات أن تعتبر الملحق 2 طريقة لتقدير قيمة القدرة المشعة المكافئة المتناغمة للإرسالات من المنصات عالية الارتفاع إلى الأرض في نطاق التردد 28,35-27,5 GHz والتي من شأنها أن تسبب زيادة معينة في نسبة التداخل إلى الضوضاء (I/N) في مستقبلات سوائل الخدمة الثابتة الساتلية في المدار المستقر بالنسبة إلى الأرض.
- 3** أن المنهجية الواردة في الملحق 3 يمكن استخدامها في تقييم نسبة الموجة الحالة إلى قدرة التداخل (C/I) من أجل تحديد مستوى التداخل من إرسال محطات المنصات عالية الارتفاع إلى الأرض (الوصلة المابطة) في الخدمة الثابتة، ومن الأرض إلى الفضاء (الوصلة الصاعدة) في الخدمة الثابتة الساتلية باستعمال سوائل مستقرة بالنسبة إلى الأرض في نطاق التردد GHz 28,35-27,5.

الملحق 1

منهجية لتقدير التداخل من الوصلة المابطة في الخدمة الثابتة التي تستخدم محطات المنصات عالية الارتفاع في الوصلة الصاعدة للخدمة الثابتة الساتلية التي تستخدم سوائل مستقرة بالنسبة إلى الأرض في النطاق GHz 28,35-27,5

مقدمة 1

يقدم هذا الملحق منهجية لتقدير التداخل من الخدمة الثابتة التي تستخدم محطات المنصات عالية الارتفاع في أنظمة السوائل المستقرة بالنسبة إلى الأرض في الخدمة الثابتة الساتلية في النطاق 28,35-27,5 GHz. ويستخدم هذا النطاق في الوصلة الصاعدة (أرض-فضاء) في نظام الخدمة الثابتة الساتلية التي تستخدم سوائل مستقرة بالنسبة إلى الأرض.

منهجية لتقدير التداخل 2

التداخل من نظام محطات المنصات عالية الارتفاع 1.2

يبين الشكل 1 نموذج التحليل المفترض لتقدير التداخل من نظام HAPS في سائل مستقر بالنسبة إلى الأرض. وتستخدم المعادلة 1 لحساب مستوى قدرة التداخل في 1 MHz، $I(g,h,b,r)$ ، الناشئ عن حزمة نقطية من سائل في محطة منصة عالية الارتفاع، استقبلها سائل مستقر بالنسبة إلى الأرض (g):

$$(1) \quad I(g,h,b,r) = P^H(b) - F_{loss} + G^H_{tx}(\phi(g,h,b)) - FSL(g,h) + G^S_{rx}(\phi(h,g,r)) \quad \text{dB(W/MHz)}$$

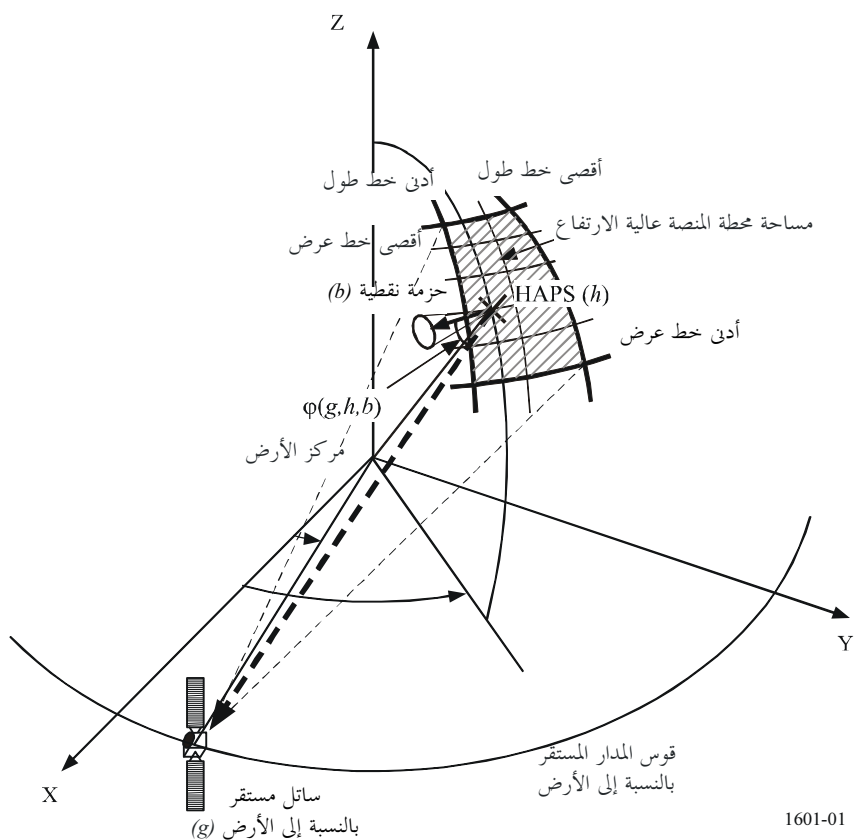
حيث:

$P^H(b)$: قدرة المرسل لكل 1 MHz (MHz/W)dB) عند مدخل هوائي HAPS للحزمة (b)

خسارة المغذي (dB)	F_{Loss}
زاوية التمييز (degrees) عند HAPS (h) بين اتجاه تصويب حزمة نقطية من محطة المنصة عالية الارتفاع (b) والسائل المستقر بالنسبة إلى الأرض (g)	$\phi(g, h, b)$
كسب هوائي المرسل (dBi) لمحطة المنصة عالية الارتفاع (h) لزاوية انحراف عن المحور الرئيسي مقدارها ($\phi(g, h, b)$)	$(\phi(g, h, b)) G_{rx}^H$
الخسارة في الهواء الحر (dB) بين السائل المستقر بالنسبة إلى الأرض (g), ومحطة المنصة عالية الارتفاع (h)	$FSL(g, h)$
زاوية التمييز (بالدرجات) عند السائل المستقر بالنسبة إلى الأرض (g) بين اتجاه التصويب للنقطة المرجعية لخدمة ثابتة سائلية مستقرة بالنسبة إلى الأرض (r) ومحطة منصة عالية الارتفاع (h), انظر الشكل 2	$\theta(h, g, r)$
كسب هوائي المستقبل (dBi) للسائل المستقر للأرض (g) لزاوية انحراف عن المحور الرئيسي ($\theta(h, g, r)$)	$G_{rx}^S(\theta(h, g, r))$

الشكل 1

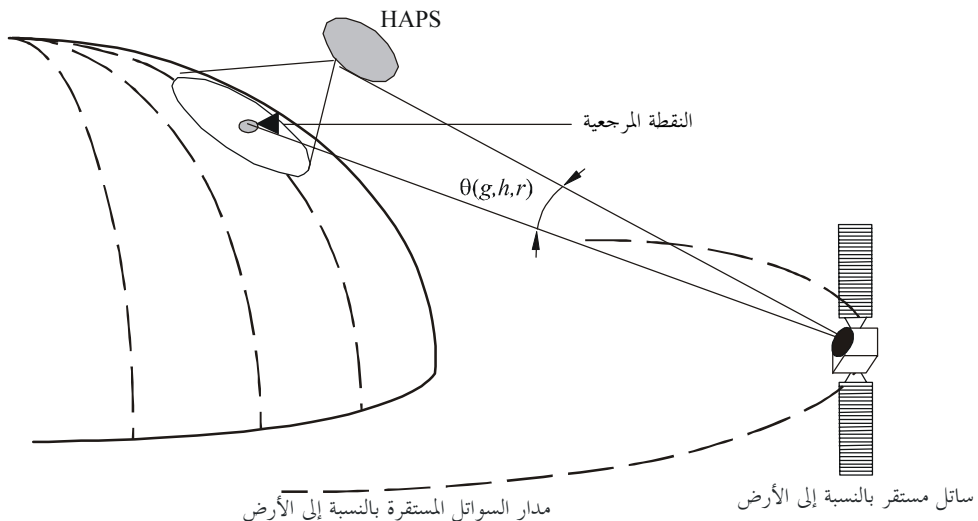
نموذج تقييم التداخل من محطة منصة عالية الارتفاع في سائل مستقر بالنسبة إلى الأرض



1601-01

الشكل 2

نموذج هندسي للنقطة المرجعية لساتل مستقر بالنسبة إلى الأرض



1601-02

وحساب زاوية التمييز عند ساتل مستقر بالنسبة إلى الأرض، يتعين تحديد نقطة مرجعية موقع معين على سطح الأرض. يفترض عندئذ أن اتجاه تسديد هوائي الحزمة النقطية للساتل المستقر بالنسبة للأرض موجه دائمًا نحو النقطة المرجعية، بغض النظر عن موضع المركبة الفضائية في المدار. وفي الحالات التي تكون فيها النقطة المرجعية غير مرئية للساتل المستقر بالنسبة إلى الأرض، يفترض أن النقطة المرجعية قد تحركت إلى نقطة أخرى شريطة أن تكون زاوية الارتفاع نحو الساتل المستقر بالنسبة إلى الأرض عند أدنى قيمة لها. وبين الشكل 2 النموذج الهندسي للمثال شاملاً النقطة المرجعية.

واستناداً إلى سيناريو تشغيلي لنظام HAPS الذي يمكن منه لحظة من المنصة العالية الارتفاع إرسال موجات حاملة عديدة في كل حزمة نقطية، يفترض أن الموجات الحاملة العديدة للوصلة المابطة لحظة المنصة عالية الارتفاع يمكن أن توجد في كامل عرض نطاق الاستقبال عند الساتل المستقر بالنسبة إلى الأرض. ويعبر عن التداخل الإجمالي من نظام HAPS بالرمز I_{single} ويحسب باعتباره مجموع الكثافة الطيفية $I(g, h, b, r)$ لجميع الحزم النقطية الممكنة لحظة عالية الارتفاع يمكن أن تستخدم نفس التردد على النحو المبين في المعادلة (2).

$$(2) \quad I_{single} = 10 \log \left(\sum_{h=1}^{h_n} \sum_{b=1}^{b_n} 10^{I(g, h, b, r)/10} \right)$$

حيث b تشير إلى عدد الحزم النقطية التي يمكن أن تستخدم نفس التردد، و h تشير إلى عدد محطات المنصات عالية الارتفاع التي يتكون منها نظام HAPS واحد.

ومجرد تقدير مستوى التداخل الذي يصل إلى الخدمة الثابتة الساتلية، يمكن تقدير نسبة I/N على النحو التالي:

$$(3) \quad I/N_{single} = I_{single} - N = I_{single} - 10 \log(k T_{sat}) - 60$$

حيث:

I/N_{single} : نسبة التداخل إلى الضوضاء الحرارية (dB)

N : قدرة الضوضاء الحرارية لمستقبل الساتل في 1 MHz (dB(W/MHz)) MHz

k : ثابت بولتزمان (W/(K · Hz))

. T_{sat} : درجة حرارة ضوء النظام لساتل مستقر بالنسبة إلى الأرض في الخدمة الثابتة الساتلية (K).

بعد ذلك يقارن مستوى التداخل الإجمالي المحسوب بعتبة مناسبة للتداخل لمعرفة ما إذا كان نظام HAPS يسبب تدخلاً ضاراً في الخدمة الثابتة الساتلية.

2.2 التداخل من أنظمة HAPS عديدة

قد تنشأ حالات يمكن أن تسبب فيها عدة أنظمة HAPS حاملة تدخلاً في ساتل معين مستقر بالنسبة إلى الأرض. ويعبر عن التداخل الإجمالي الناشئ من أنظمة HAPS عديدة بالقيمة $I_{multiple}$ وتنسب إلى المجموع الكلي لكل مستوى تداخل من كل نظام HAPS في الساتل المستقر بالنسبة إلى الأرض على النحو المبين في المعادلة (4).

$$(4) \quad I_{multiple} = 10 \log \left(\sum_{s=1}^{s_n} \sum_{h=1}^{h_n} \sum_{b=1}^{b_n} 10^{I(g,h,b,r)/10} \right) \text{ dB(W/MHz)}$$

حيث s_n تشير إلى عدد أنظمة HAPS. أما الحدود الأخرى في المعادلة فلها نفس المعانى المذكورة أعلاه في حالة التداخل من نظام وحيد لمحطات المنصات عالية الارتفاع.

وإلا فإن تقييم دقيق لحالة محطات عديدة لمحطات المنصات عالية الارتفاع، ينبغي أن تستخدم في الحسابات خصائص كل نظام من أنظمة HAPS. وعند عدم توافر هذه المعلومات لواحد وأكثر من هذه الأنظمة، يمكن الحصول على نتائج تقريبية للتداخل الناتج باستخدام خصائص نظام مرجعي لـ HAPS في الحسابات.

ويمجد تعيين قيمة $I_{multiple}$ ، يمكن استخدامها في المعادلة (3) بدلاً من I_{single} لتقييم تأثير التداخل على الخدمة الثابتة الساتلية.

3.2 التحكم في قدرة الوصلة المابطة

يصل التداخل من الوصلة المابطة لمحطات المنصات عالية الارتفاع في الوصلة الصاعدة لساتل مستقر بالنسبة إلى الأرض في الخدمة الثابتة الساتلية إلى أقصى قيمة إرسال له عند توفر شرط القدرة القصوى للإرسال للوصلة المابطة في HAPS أو في حالة سقوط المطر. وعند استخدام التحكم في قدرة الوصلة المابطة في نظام HAPS، فإن قدرة الإرسال الإجمالية للوصلة المابطة لمحطة منصة عالية الارتفاع يمكن أن تنخفض في ظل ظروف الجو الصحو. ونتيجة لذلك، ينخفض التداخل الذي يحدث في المحطة الفضائية للخدمة الثابتة الساتلية في ظل ظروف الجو الصحو.

4.2 معلمات المدخلات

ينبغي لدراسات التداخل التي تطبق المنهجية الواردة في هذا الملحق استخدام الخصائص الفعلية للخدمة الثابتة الساتلية وأنظمة HAPS قيد الدراسة عند توافرها. وفي حالة عدم توافر هذه الخصائص، يجوز استخدام القيم التالية:

1.4.2 خصائص محطات المنصات عالية الارتفاع

انظر التوصية IUT-R F.1569.

2.4.2 خصائص دخل الخدمة الثابتة الساتلية

T_{sat} : K 500 -

عرض حزمة الموجي (للمحطات الصغيرة): $^{\circ}0,3$ -

عرض حزمة الموجي (للمحطات المركزية): $^{\circ}2$ -

- كسب الهوائي: التوصية 2 ITU-R S.672، الملحق 1، ($L_s = -20$ dB).

التذليل 1 للملحق 1

مثال لتطبيق المنهجية الواردة في الملحق 1

1 نموذج التداخل

من المفترض أن نظام HAPS يتكون من عدد من منصات HAPS يعمل في مساحة مستطيلة على النحو المبين في الشكل 3. وتكون المقصة الواقعة في مركز المساحة هي النقطة المرجعية في هذا النموذج للحساب و تكون جميع المنصات الأخرى موزعة على مستوى عمودي على الخط الذي يصل النقطة المرجعية ونقطة النظير المقابلة لها على سطح الأرض. وعند أحد النقطة المرجعية كنقطة أصل للإحداثيات $y-x$ على ذلك المستوى، فإنه يفترض أن منصات HAPS موضوعة على كل نقطة شبكة في مساحة إحداثياها (L_x, L_y) , $(L_x, -L_y)$, $(-L_x, L_y)$ ، و $(-L_x, -L_y)$. وإذا افترض أيضاً أن أعداد منصات HAPS المعدودة على المحورين x و y ، هي n_x و n_y على التوالي، فإن العدد الكلي للمنصات قيد الدراسة n , $n_y \times n_x$ (حيث n_x و n_y عددان فردان). وفي هذا النموذج للنشر يعبر عن مسافة المباعدة بين محطات المنصات عالية الارتفاع المتحاورة بـ d_x و d_y مقيسة على المحورين x و y ، على التوالي. ويعبر عن d_x و d_y بـ $(1 - 2L_x/(N_x - 2L_y/(N_y - 1)))$ على التوالي.

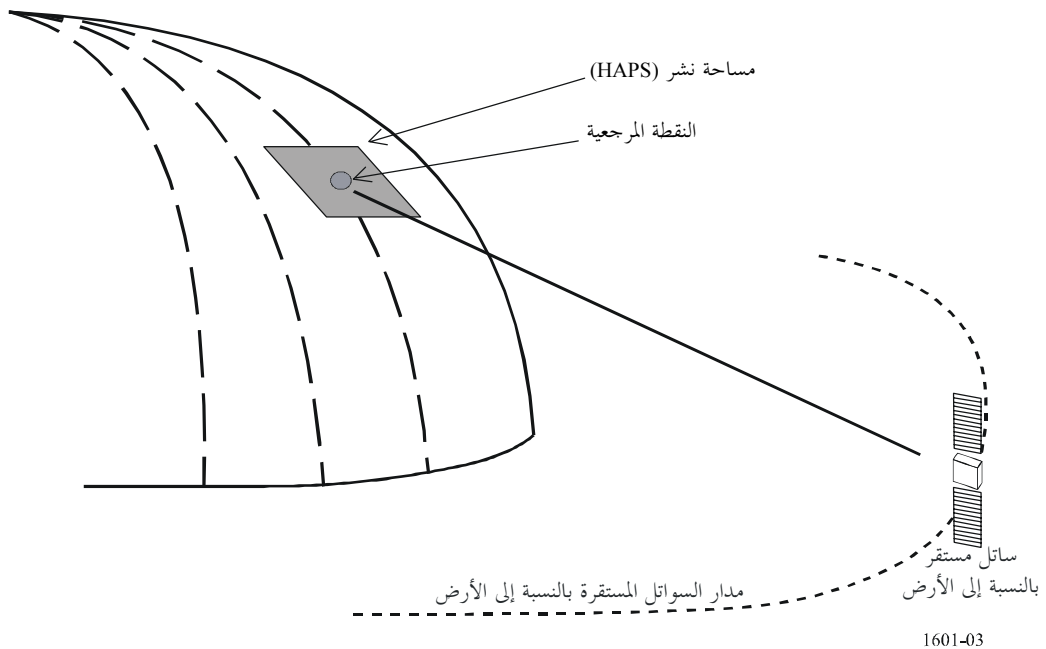
ويفترض أيضاً أن السائل المستقر بالنسبة إلى الأرض الذي سيحدث فيه التداخل واقع في اتجاه المحور x المفترض وأن هوائي السائل يكون موجهاً دائماً نحو النقطة المرجعية. وتعرف الزاوية α في الشكل 4 بأنها زاوية ارتفاع السائل عند النقطة المرجعية مقيسة من المستوى $y-x$.

ويقيم التداخل الإجمالي من عدد قدرة n_T من منصات HAPS من حيث التداخل الذي يحدث في نسبة قدرة الضوضاء إلى القدرة، I/N ، للسائل المستقر بالنسبة إلى الأرض كدالة لزاوية الارتفاع α ، لحالات مختلطة للنشر النمطي لمحطات المنصات عالية الارتفاع والخصائص النمطية للسائل.

¹ توفر التوصية 2 ITU-R S.672 أهداف التصميم لمصممي هوائيات المحطات الفضائية. ويتعذر توفير الأهداف المتعلقة بجزمة مقولبة في الحالات الشائعة وذلك لعدم معرفة منطقة الخدمة الثابتة السائلية. ويمكن استخدام أداء محدد بتناقص تدريجي $L_s = -10$ dB من أجل وصف حالة الجزمة المقولبة. ويلزم إجراء المزيد من الدراسات عن الأداء الذي يتناقص تدريجياً.

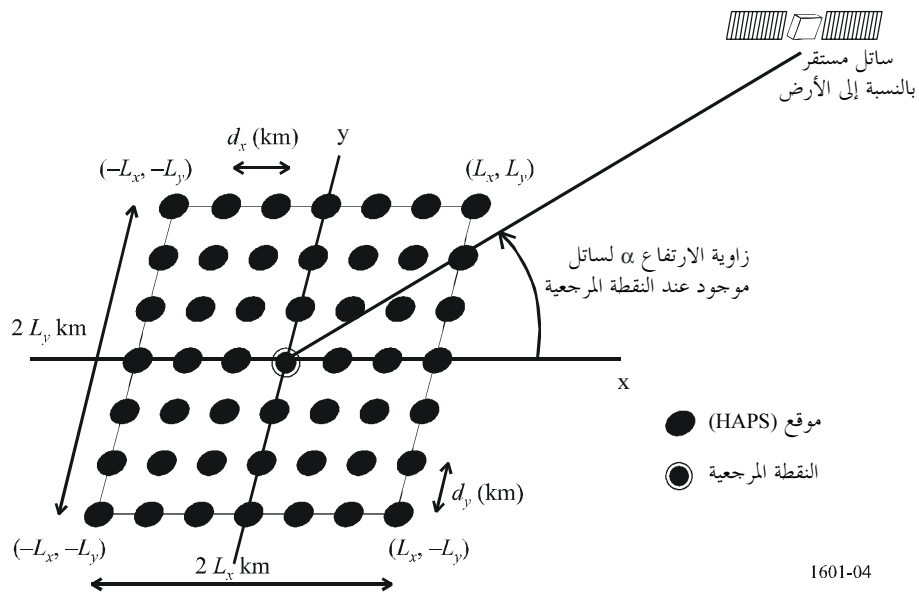
الشكل 3

نموذج تقييم التداخل



الشكل 4

نموذج نشر محطات المنصات عالية الارتفاع



2 خصائص محطات المنصات عالية الارتفاع

تُرد في الترصية 2 ITU-R F.1569 المعلمات النمطية لأنظمة محطات المنصات العالية الارتفاع في النطاق 28 GHz.

الجدول 1

خصائص محطات المنصات عالية الارتفاع (HAPS)

HAPS-2	HAPS-1	المعلمات
20	20	ارتفاع HAPS (عند النقطة المرجعية) (km)
dBW 5– MHz في نطاق عرضه 20	dBW 5– MHz في نطاق عرضه 20	قيمة e.i.r.p. الإجمالية لمحطة المنصة عالية الارتفاع في الاتجاه الجانبي أو الخلفي ⁽¹⁾
600	1 000	طول منطقة نشر محطات المنصات عالية الارتفاع (2 L _x) (km)
600	1 000	عرض منطقة نشر محطات المنصات عالية الارتفاع (2 L _y) (km)
9	11	عدد محطات المنصات عالية الارتفاع على المحور x (n _x)
9	11	عدد محطات المنصات عالية الارتفاع على المحور y (n _y)
81	121	العدد الإجمالي لمحطات المنصات عالية الارتفاع (n _T)
75	100	المسافة بين محطات المنصات عالية الارتفاع على المحور x (d _x) (km)
75	100	المسافة بين محطات المنصات عالية الارتفاع على المحور y (d _y) (km)

⁽¹⁾ النموذج العملي المحتوي على 397 حزمة نقطية المبين في الشكل 3 من التوصية .ITU-R F.1569

3 خصائص السائل المستقر بالنسبة إلى الأرض

ترد في الجدول 2 معلمات السائل المستقر بالنسبة إلى الأرض.

الجدول 2

خصائص السائل المستقر بالنسبة إلى الأرض (GSO)

GSO-2	GSO-1	المعلمات
500	500	درجة حرارة ضوضاء النظام (K)
2	0,3	فتحة نصف القدر لحزمة الموجي (بالدرجات)
20– <i>L_s</i>	20–	سوية الفض الجانبي للهوائي (dB) في الملحق 1 من التوصية 4 ITU-R S.672-4
38.5	55.0	كسب الذروة للهوائي ⁽¹⁾ (dBi)

⁽¹⁾ محسوبة باستخدام المعادلة $G_{max}(\text{dBi}) = 44.5 - 20 \log \theta$ (θ نطاق عرضه 3° dBi بالدرجات)

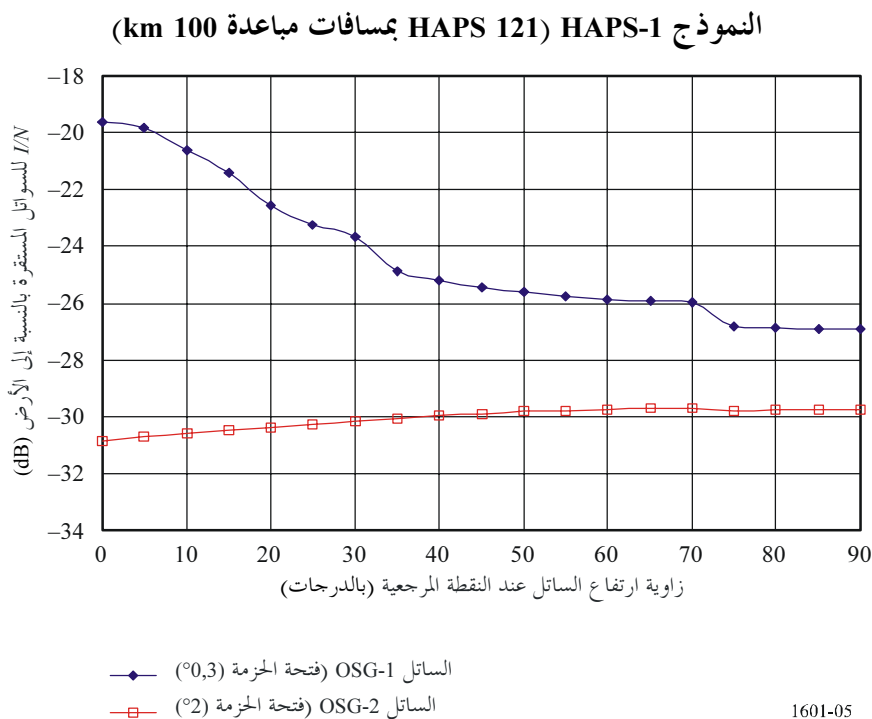
4 نتائج الحسابات

يبين الشكلان 5 و 6 قيم I/N المحسوبة للسائل المستقر بالنسبة إلى الأرض.

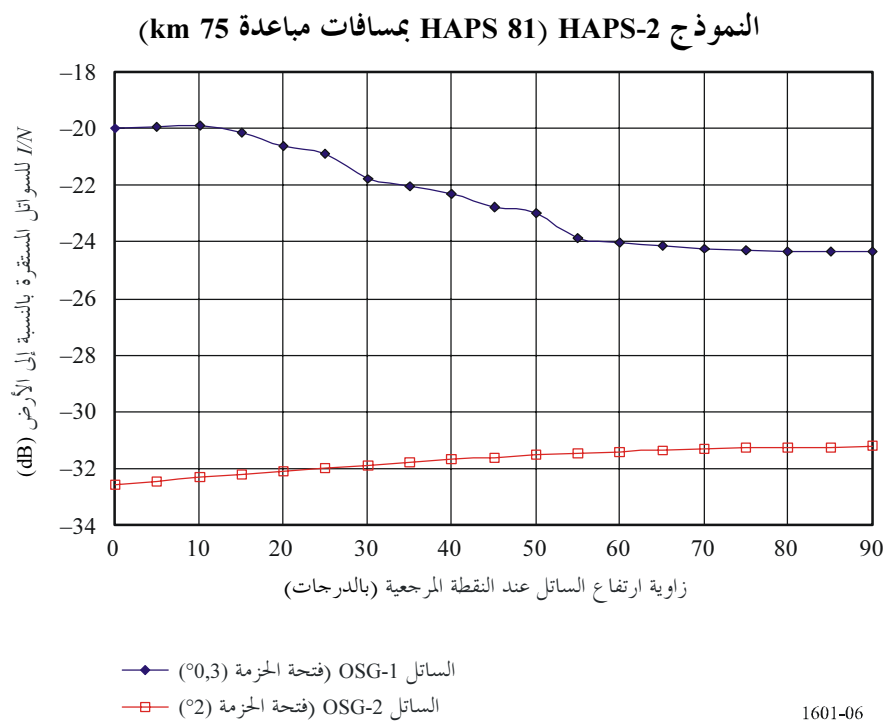
واضح من المنهجية أن قيمة I/N للسائل المستقر بالنسبة إلى الأرض تعتمد إلى حد كبير على كسب الذروة لهوائي السائل المستقر بالنسبة إلى الأرض عندما يكون الهوائي موجهاً نحو مصدر التداخل. فالموائي الذي له فتحة حزمة ضيقة (0,3°) يستقبل تدالياً أكبر عندما تقل زوايا ارتفاع النقطة المرجعية لأن عدد محطات المنصات عالية الارتفاع داخل الحزمة الرئيسية يكون محدوداً عند زوايا الارتفاع العالية ويزداد عند زوايا الارتفاع المنخفضة. ومن جهة أخرى، فإن الهوائي الذي تكون له فتحة حزمة أوسع (2°) يستقبل تدالياً أقل بسبب انخفاض كسب الهوائي ولأن سوية التداخل تكون ثابتة إلى حد ما لكونها تكاد تغطي كامل مساحة النشر لمحطات HAPS داخل الحزمة الأساسية حتى بالنسبة لزوايا الارتفاع العالية. ويعتمد مستوى

التدخل أساساً على مسافة انتشار إشارة التداخل. وبالنسبة لهذه الحالات، تبين النتائج أن قيمة I/N للساتل المستقر بالنسبة إلى الأرض تقل عن -20 dB (1%) لكل من الساتلين المستقررين بالنسبة إلى الأرض في ظروف التشغيل العادية حيث يفترض أن لحطات الأرض زوايا ارتفاع تبلغ 20° أو أكثر بالنسبة للساتل.

الشكل 5



الشكل 6



الملاحق 2

منهجية لحساب إرسالات الملحق e.i.r.p من محطات HAPS في الاتجاه من HAPS إلى الأرض في النطاق GHz 28,35 - 27,5 ، التي تتسبب في زيادة معينة في I/N لمستقبلات السواتل المستقرة بالنسبة إلى الأرض في الخدمة الثابتة الساتلية

المقدمة 1

مقياس التداخل المستعمل في هذه الطريقة هو I/N لنظام الاستقبال في الخدمة الثابتة الساتلية. والخصائص المحددة للتداخل في نظام استقبال في الخدمة الثابتة الساتلية هو كسب الهوائي ودرجة حرارة الضوضاء لذلك النظام.

ويمكن استخدام هذه الطريقة لتقدير كثافة e.i.r.p للإرسالات من HAPS في الاتجاه من HAPS إلى الأرض التي يمكن أن تسبب زيادة معينة في قيمة I/N لنظم استقبال الخدمة الثابتة الساتلية في المدار المستقر بالنسبة إلى الأرض.

وصف الطريقة 2

الخطوة الأولى في هذه الطريقة هي حساب الزيادة المعينة في نسبة التداخل إلى الضوضاء، I/N ، بتعيين قدرة الضوضاء في كثافة قدرة الضوضاء في نظام الاستقبال المفترض لكل 1 MHz.

$$(5) \quad N = k T B$$

حيث:

k : ثابت بولتزمان ($\text{W}/(\text{K} \cdot \text{Hz})$)

T : درجة حرارة ضوضاء نظام الاستقبال في الخدمة الثابتة الساتلية (K)

B : عرض النطاق المرجعي (MHz 1)

في الخطوة التالية، تستخدم قيمة I/N المفترضة لتعيين قدرة التداخل ($\text{dB}(\text{W}/\text{MHz})$).

(6)

$$I = N + I/N$$

بعد ذلك تحسب كثافة تدفق القدرة (PFD) التي تنتج التداخل المفترض في مدار الساتل المستقر بالنسبة إلى الأرض:

(7)

$$\text{PFD} = I - G_R + 20 \log(f) + 21,45 \quad \text{dB}(\text{W}/(\text{m}^2 \cdot \text{MHz}))$$

حيث:

G : الكسب الفعلي (dBi) لهائي استقبال الخدمة الثابتة الساتلية في اتجاه منصات HAPS المسيبة للتدخل،

f : تردد الإرسال (GHz).

عندئذ، تكون قيمة e.i.r.p الإجمالية من جميع إرسالات HAPS التي تنتج هذه القيمة لكثافة تدفق القدرة في المدار المستقر بالنسبة إلى الأرض.

(8)

$$(\text{e.i.r.p.})_{total} = \text{PFD} + 10 \log(4\pi \cdot d^2) \quad \text{dB}(\text{W}/\text{MHz})$$

حيث d هي المسافة بالمتر بين منصة HAPS وسائل الخدمة الثابتة الساتلية.

ومن حيث المبدأ فإن:

(9)

$$(\text{e.i.r.p.})_{total} = 10 \log \sum_{j=1}^n 10^{-0.1(\text{e.i.r.p.})_j} \quad \text{dB}(\text{W}/\text{MHz})$$

حيث:

j -th HAPS من منصة e.i.r.p. $_{j}(\text{e.i.r.p.})$:

n : عدد منصات HAPS المسيبة للتدخل.

وإذا فرض لغرض التبسيط أن،

(10)

$$(\text{e.i.r.p.})_{average} = (\text{e.i.r.p.})_{total} - 10 \log(n) \quad \text{dB}(\text{W}/\text{MHz})$$

فإنه يمكن إيجاد قيمة تقريرية لمتوسط e.i.r.p. من كل منصة HAPS.

3 مستويات التداخل من أنظمة HAPS النمطية

يمكن تعين التداخل الذي قد تسببه أنظمة HAPS في سواتل الخدمة الثابتة الساتلية الموجودة في المدار المستقر بالنسبة إلى الأرض بمقارنة قيم e.i.r.p. في الفضيين الجانبي والخلفي لهائيات إرسال HAPS بقيم e.i.r.p. الناتجة من طريقة الحساب المبينة أعلاه.

التبديل 1 للملحق 2

مثال لتطبيق المنهجية الواردة في الملحق 2

1 مقدمة

تجري الحسابات النموذجية المبينة هنا على نظامي الخدمة الثابتة الساتلية المشار إليها في الملحق 1 الفقرة 2.4.2 أعلاه. ويستخدم أحد النظامين وهو النظام الذي يستقبل من محطات مرئية رئيسية، هوائي استقبال بفتحة حزمة 2° و كسب 39 dBi . أما النظام الآخر، الذي يستقبل من مطارات مستعملين صغيرة موجودة في كل مكان، فيفترض أن فتحة حزمته $0,3^{\circ}$ و كسبه $55,4 \text{ dBi}$. ويفترض أن كل نظام من النظامين به نظام استقبال تبلغ درجة حرارة الضوضاء فيه 500 K ، وهي درجة حرارة تتحدد كقيمة تمثيلية للمستقبلات الحساسة التي تم تحديدها لأغراض التنفيذ.

يففترض هذا المثال وجود نشر كثيف لأنظمة HAPS. وفي حالة السائل المستقر بالنسبة إلى الأرض في الخدمة الثابتة الساتلية الذي له حزمة هوائي قدرها 2° ، يفترض استقبال إشارات تداخل من منصات HAPS يصل عددها إلى 100 منصة. وسيتم استقبال بعض هذه الإشارات عند أو قرب قيمة الكسب العظمى للحزمة الرئيسية، وستستقبل إشارات أخرى ذات كسب أقل. ويففترض هذا المثال أنه سيتم استقبال إشارات من كل منصة من منصات HAPS البالغ عددها 100 منصة بمتوسط كسب هوائي الخدمة الثابتة الساتلية يقل بمقدار 1 dB عن قيمته القصوى، أي بكسب يبلغ 38 dBi .

وبالمثل، ففي حالة سائل مستقر بالنسبة إلى الأرض في الخدمة الثابتة الساتلية له حزمة عرضها $0,3^{\circ}$ ، سيرى السائل عدداً أقل بكثير من منصات HAPS مقارنة بالحالة التي تكون فيها عرض الحزمة 2° ، يفترض أنه ستستقبل إشارات متداخلة من عدد قد يصل إلى ثلات منصات HAPS، وأنما ستستقبل عند مستويات كسب مختلفة على منصات HAPS تتوقف على محطة الهوائي. ويففترض هذا المثال أن استقبال كل إشارة من الإشارات الآتية من منصات HAPS الثلاث سوف يتم بمتوسط كسب هوائي الخدمة الثابتة الساتلية يقل بمقدار 1 dB عن قيمته القصوى، أي بكسب يبلغ $54,4 \text{ dBi}$.

وتأخذ المسافة بين مدار السواتل المستقرة بالنسبة إلى الأرض وأقرب منصة HAPS باعتبارها ارتفاع مدار السواتل المستقرة بالنسبة إلى الأرض والعلو البالغ 20 km لمنصات HAPS $35\,768 \text{ km} = 35 - 20 = 35\,788 \text{ km}$.

2 التداخل في حزم محطة مرئية للخدمة الثابتة الساتلية ذات فتحة حزمة مقدارها 2°

فتحة نصف القدرة للحزمة: $2,0^{\circ}$

ذروة كسب هوائي السائل: 39 dBi

متوسط كسب هوائي الاستقبال من جميع منصات HAPS المتداخلة: $38 \text{ dBi} = 1 - 39 \text{ dBi}$

العدد المفترض لمنصات HAPS المتداخلة في حدود فتحة حزمة مقدارها 2° : 100

درجة حرارة ضوضاء نظام الاستقبال: 500 K

عرض النطاق المرجعي: 1 MHz

وبذلك تكون قدرة ضوضاء نظام الاستقبال:

$$(11) \quad N = k T B = -228,6 + 10 \log(500) + 10 \log(10^6) = -141,61 \text{ dB(W/MHz)}$$

وبفرض أن قدرة التداخل في هذا المثال هي 1% من قدرة الضوضاء، فإن I/N تكون $= 10 \log(0,01) = -20 \text{ dB}$. وتصبح:

$$(12) \quad I = N + I/N = -141,61 - 20 = -161,61 \text{ dB(W/MHz)}$$

ومن ثم تصبح كثافة تدفق القدرة (PDF) التي ستنتج قدرة التداخل هذه عند المدار:

$$(13) \quad PFD = (-161,61 - 38 + 29 + 21,45) = -149,2 \quad \text{dB(W/(m}^2 \cdot \text{MHz}))$$

عندئذ تصبح:

$$(e.i.r.p.)_{total} = -149,2 + 162,1 = 12,92 \quad \text{dB(W/MHz)}.$$

وإذا قسمت قدرة التداخل الإجمالية هذه على 100 منصة HAPS سيقتصر نصيب كل منها على $12,92 - 10(\log 100) = 12,92 - 20 = -7,08 \text{ dB(W/MHz)}$.

3 التداخل في حزم مطاراتيف صغار المستعملين في الخدمة الثابتة الساتلية التي لها فتحة حزمة مقدارها $0,3^\circ$

فتحة نصف القدرة للحزمة: $0,3^\circ$

ذروة كسب هوائي الساتل: $\text{dBi } 55,4$

متوسط كسب هوائي الاستقبال من جميع منصات HAPS المتداخلة: $\text{dBi } 54,4 = 1 - 55,4$

العدد المفترض لمنصات HAPS المتداخلة في حدود فتحة حزمة مقدارها $0,3^\circ$:

درجة حرارة ضوضاء نظام الاستقبال: $K \ 500$

عرض النطاق المرجعي: $\text{MHz } 1$

ومن ثم، وعلى غرار الفقرة أعلاه، فإن قدرة ضوضاء نظام الاستقبال، ($N = -141,61 \text{ dB(W/MHz)}$)

وتكون قدرة التداخل القصوى، ($I = -161,61 \text{ dB (W/MHz)}$)

وتصبح كثافة تدفق القدرة المسببة لقدرة ذلك التداخل:

$$(14) \quad PFD = (-161,61 - 54,4 + 29 + 21,45) = -165,6 \quad \text{dB(W/(m}^2 \cdot \text{MHz}))$$

وعلى ذلك تكون:

$$(e.i.r.p.)_{total} = -165,6 + 162,1 = -3,5 \quad \text{dB(W/MHz)}$$

وإذا قسمت قدرة التداخل الإجمالية هذه على 3 منصات HAPS، فإن نصيب كل منصة منها سيقتصر على

$$-3,5 - 10(\log 3) = -3,5 - 4,77 = -8,27 \text{ dB(W/MHz)}$$

4 مستويات التداخل من أنظمة HAPS غطية

يمكن حساب أقصى تداخل من الفضي الجانبي والخلفي لإرسالات الوصلة المابطة — HAPS عند 28 GHz من معلمات نظام HAPS الواردة في التوصية ITU-R F.1569.

تبعد قدرة خرج مرسل منصة HAPS، مصمم لخدمة مطاراتيف المستعملين وله زاوية ارتفاع تصل انخفاضاً إلى 26° ، في ظروف المطر، $1,8 \text{ dBW}$ ، في نطاق عرضه 150 MHz، وخسارة وصلة تغذية قدرها $0,5 \text{ dB}$ ، وهوائي بكسب $16,4 \text{ dBi}$. ويسفر ذلك عن قيمة e.i.r.p. قصوى مقدارها $17,7 \text{ dBW}$ لكل 150 MHz. أو $17,7 - 10 \log 150 = (17,7 - 21,7) = -4 \text{ dB(W/MHz)}$.

غير أن قيمة كسب الهوائي في اتجاه الجانب البعيد والفص الخلفي ستقل بمقدار 10 dB على الأقل عن قيمة الكسب المتاح (istropic gain). وعلى ذلك، تصبح قيمة e.i.r.p. لمنصة HAPS باتجاه المدار المستقر بالنسبة إلى الأرض $-4 - 16,4 - 10 = -30,4 \text{ dB(W/MHz)}$.

في المثالين الواردين في القسمين 2 و 3 أعلاه، تقل قيمة e.i.r.p. باتجاه المدار المستقر بالنسبة إلى الأرض كثيراً عن المستويات المناظرة من فرادي الإرسالات من HAPS إلى الأرض البالغة $7,08 \text{ dB(W/MHz)}$ أو $8,27 \text{ dB(W/MHz)}$ ، والتي تسفر عن قيمة I/N تقل عن 1% في سواتل الخدمة الثابتة الساتلية التي لها حزمة هوائي تبلغ $2,0^\circ$ أو $0,3^\circ$.

الملحق 3

منهجية لتقدير نسبة الموجة الحاملة إلى تداخل الإرسال C/I من محطات المنصات عالية الارتفاع (HAPS) إلى الأرض (وصلة هابطة) في الخدمة الثابتة التي تستخدم محطات HAPS أرض-فضاء (وصلة صاعدة) في الخدمة الثابتة الساتلية التي تستخدم سواتل مستقرة بالنسبة إلى الأرض في النطاق GHz 28,35-27,5

المقدمة

1

قد يكون من المفيد في مرحلة التخطيط لشبكة سواتل حساب نسبة الموجة الحاملة إلى التداخل (C/I) بين موجات حاملة لشبكات مسببة للتداخل وأخرى متداخلة فيها بهدف تحديد مستويات التداخل. وبالإمكان استخدام نسبة الموجة الحاملة إلى التداخل في تحديد مستويات التداخل التي تسهم في الحفاظ الأداء فضلاً عن إمكانية استخدامها في طائق التشكيل كافة. ويتضمن هذا الملحق منهجية مبنية على عمليات تقدير نسبة الموجة الحاملة إلى التداخل C/I بقصد تقدير التداخل من الوصلة المابطة في الخدمة الثابتة التي تستخدم محطات HAPS إلى الوصلة الصاعدة للخدمة الثابتة الساتلية التي تستخدم سواتل مستقرة بالنسبة إلى الأرض (GSO) في النطاق GHz 28,35-27,5.

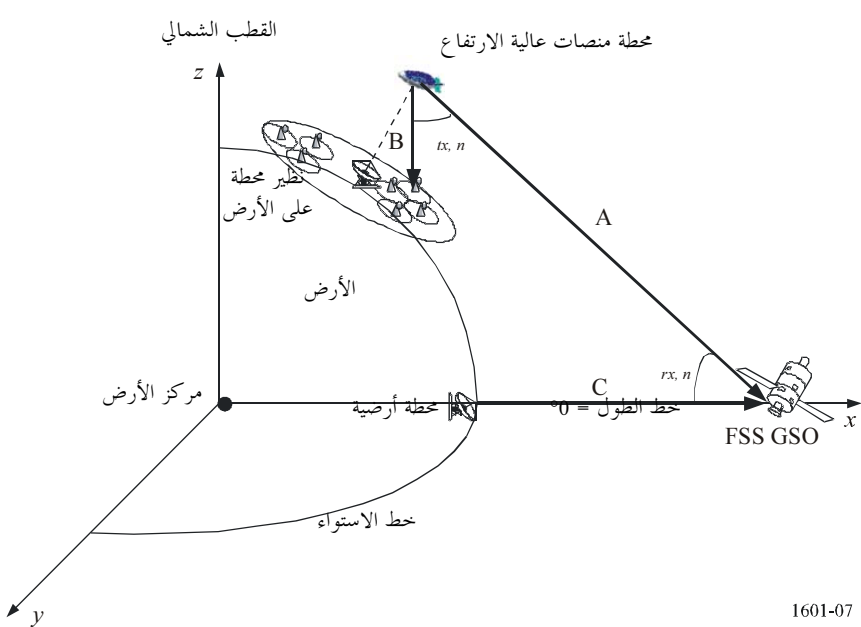
منهجية تقدير الموجة الحاملة إلى التداخل

2

يظهر الشكل 7 نموذج التحليل المفترض لتقدير نسبة الموجة الحاملة إلى التداخل في سائل ذي مدار مستقر بالنسبة إلى الأرض (GSO) بسبب التداخل من محطات HAPS.

الشكل 7

هندسة احتساب زوايا الانحراف عن المحور الرئيسي



1601-07

1.2 حساب نسبة الموجة الحاملة إلى التداخل

يمكن حساب نسبة الموجة الحاملة إلى التداخل مع مراعاة قدرة الموجة الحاملة أرض-فضاء (الوصلة الصاعدة) في الخدمة الثابتة الساتلية التي تستخدم الساتل C ذي المدار المستقر بالنسبة إلى الأرض (GSO)، وقدرة التداخل الإجمالية من السفن الفضائية المتعددة لمحطات المنصات عالية الارتفاع (HAPS) إلى الساتل I_{total} ضمن عرض النطاق الذي يحدث فيه التداخل، باستخدام المعادلة التالية:

$$(15) \quad \left[\frac{C}{I} \right] = EIRP_{up} - FSL_{E/S-Sat} + G_{Sat} - I_{total} \quad (\text{dB})$$

حيث:

$EIRP_{up}$: القدرة المشعة المكافئة المتتاحية لموجة حاملة لمحطة أرضية في عرض النطاق الذي حدث فيه التداخل (dBW)

$FSL_{E/S-Sat}$: خسارة المسير في الفضاء الحر بين المحطة الأرضية والسوائل المستقر بالنسبة إلى الأرض (GSO) (dB)

G_{Sat} : أقصى كسب للهوائي المستقبل لسوائل مستقر بالنسبة إلى الأرض (dBi).

ويُعبر عن القدرة التداخلية للقيمة I_{total} من السفن الفضائية المتعددة لمحطة المنصة عالية الارتفاع في الخدمة الثابتة الساتلية التي تستعمل سواتل مستقرة بالنسبة إلى الأرض (GSO) في عرض النطاق الذي يحدث فيه التداخل على النحو التالي:

$$(16) \quad I_{total} = 10 \log \left[\sum_{h=1}^{n_h} 10^{(I_h)/10} \right] \quad (\text{dBW})$$

حيث n_h هي عدد السفن الفضائية للمحطة HAPS و I_h هي قيمة قدرة التداخل من سفينة فضائية واحدة من المحطة HAPS إلى الخدمة الثابتة الساتلية التي تستخدم ساتل GSO ذي مدار مستقر بالنسبة للأرض.

وعند اعتبار الهوائي متعدد الحزم النقاطية للسفن الفضائية للمحطة HAPS، تُحسب قدرة التداخل I_h باستخدام المعادلة التالية:

$$(17) \quad I_h = 10 \log \left[\sum_{n=1}^{n_b} 10^{\{P_{HAPS,n} - L_{feeder} + G_{HAPS,n}(\theta_{tx,n}) + G_{Sat}(\theta_{rx,n}) - FSL_{HAPS-Sat}\}/10} \right] \quad (\text{dBW})$$

حيث:

عدد الحزم النقاطية على سفينة فضائية للمحطة HAPS : n_b

قدرة الإرسال الخاصة بسفينة فضائية للمحطة HAPS $n-th$ (dBW) : $P_{HAPS,n}$

خسارة مغذي محطة المنصة عالية الارتفاع (dB) : L_{feeder}

$n-th$ كسب هوائي لإرسال لسفينة فضائية تابعة للمحطة HAPS بالنسبة لزاوية الابتعاد عن المحور ($\theta_{tx,n}$) (dB) : $G_{HAPS,n}(\theta_{tx,n})$

$n-th$ كسب هوائي المستقبل للسوائل المستقر بالنسبة إلى الأرض بالنسبة لزاوية الابتعاد عن المحور ($\theta_{rx,n}$) (dB) : $G_{Sat}(\theta_{rx,n})$

خسارة المسير في الفضاء الحر بين سفينة فضائية تابعة للمحطة HAPS وسوائل مستقر بالنسبة إلى الأرض (GSO) (dB) : $FSL_{HAPS-Sat}$.

2.2 حساب زاوية الابتعاد عن المحور

بغية الحصول على قدرة التداخل المعرفة في المعادلة (17)، ينبغي حساب زاويتي الابتعاد عن المحور $\theta_{tx,n}$ و $\theta_{rx,n}$. ولغرض تيسير حساب زوايا الابتعاد عن المحور، يتم تحويل إحداثيات جميع الحزم النقاطية للمحطة HAPS والخدمة الثابتة الساتلية FSS من الإحداثيات القطبية إلى نظام الإحداثية المستطيلة في مستوى خط الاستواء، ويكون الأصل عند مركز الأرض.

وإذا كان الرمز **A** هو المتجه به من سفينة فضائية تابعة للمحطة HAPS في الخدمة الثابتة الساتلية لسائل مستقر بالنسبة إلى الأرض، والرمز **B** هو المتجه من مركز الحزمة النقطية $n-th$ للسفينة الفضائية التابعة للمحطة HAPS إلى محطتها على الأرض، فإن زاوية الابتعاد عن محور الحزمة $\theta_{tx,n}$ بين **A** و **B** (مقاس في السفينة الفضائية التابعة للمحطة HAPS) ويعبر عنها باستخدام المعادلة التالية:

$$(18) \quad \theta_{tx,n} = \cos^{-1} \left(\frac{\mathbf{A} \cdot \mathbf{B}}{\|\mathbf{A}\| \|\mathbf{B}\|} \right) \text{ degrees}$$

وكما جاء في الشكل 7 فإن $|\mathbf{A}|$ و $|\mathbf{B}|$ يمثلان أحجام **A** و **B**، وإن **A.B** هما الناتج الداخلي لمتجهين. على سبيل المثال، بالنسبة لـ **A** و **B** المعبّر عنهما بإحداثيات مستطيلة فإن

$$(19) \quad \mathbf{A} \cdot \mathbf{B} = A_x B_x + A_y B_y + A_z B_z$$

وكذلك الحال، بالإمكان الحصول على الزاوية الأخرى $\theta_{rx,n}$ باستخدام المعادلة (18) من خلال استبدال **A** و **B** بالقيم **-A** و **-C**. حيث إن **-A** هو المتجه من خدمة ثابتة ساتلية إلى السائل المستقر بالنسبة إلى الأرض (GSO) إلى سفينة فضائية تابعة للمحطة HAPS وإن **C** هو المتجه من المحطة الأرضية على مركز تغطية المحطة HAPS من سائل مستقر بالنسبة إلى الأرض (GSO) لخدمة ثابتة ساتلية.

التدليل 1 للملحق 3

مثال على استخدام منهجية الملحق 3

1 معلومات نظام HAPS

يبين الجدول 3 معلومات نظام HAPS المستخدمة في المثال بشأن حسابات (C/I).

الجدول 3

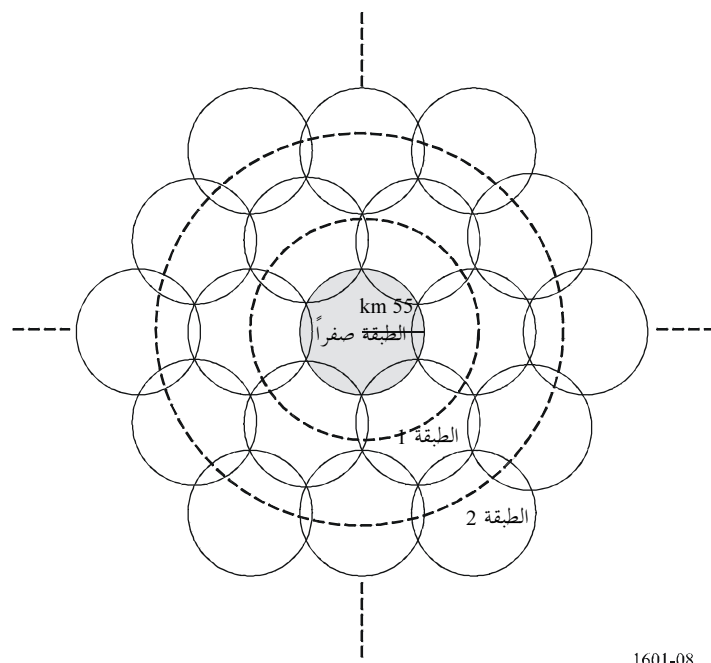
معلومات HAPS

km 20	ارتفاع (km) HAPS
km 55	تغطية الخدمة (نصف القطر) (km)
dBW 14,5– dBW 15,2–	نواتج القدرة لكل حزمة
ITU-R F.1569	مخطط إشعاع الهوائي
dB 0,5	خسارة المغذي (dB)
367	العدد الإجمالي للحزم لكل هوائي للمحطة HAPS

بالإمكان في هذا المثال، كما هو مُبيَّن في الشكل 8، نشر عدد من السفن الفضائية لتغطية مساحة واسعة من منطقة على الأرض. كما يتم تجهيز كل سفينة فضائية بهوائي متعدد الحزم النقطية في أسفلها بنفس الطريقة. ويبلغ العدد الإجمالي لحزم كل هوائي، والعدد الإجمالي لسفن فضائية من أجل حساب التداخل في هذا الملحق هو 367 و 127، على التوالي.

الشكل 8

طريقة نشر سفن فضائية تابعة للمحطة HAPS



2 معلومات نظام السواتل المستقرة بالنسبة إلى الأرض (GSO)

تستند معلومات نظام السواتل GSO إلى توصية قطاع الاتصالات الراديوية S.1328-3 التي توضح مثلاً بشأن حساب نسبة الموجة الحاملة إلى التداخل كما هو موضح في الجدول 4.

الجدول 4

معلومات نظام السواتل GSO

ارتفاع السواتل GSO	
أقصى كسب استقبال هوائي للسوائل	فتحة حزمة الهوائي 55° من أجل $0,3 \text{ dBi}$
مخطط الهوائي	فتحة حزمة الهوائي $38,5^{\circ}$ من أجل 2°
وصلة صاعدة (dBW e.i.r.p.)	التوصية ITU-R S.672 (افتراض $L_s = -20 \text{ dB}$)
km 35 768	dBW 66,1

3 نتائج الحساب

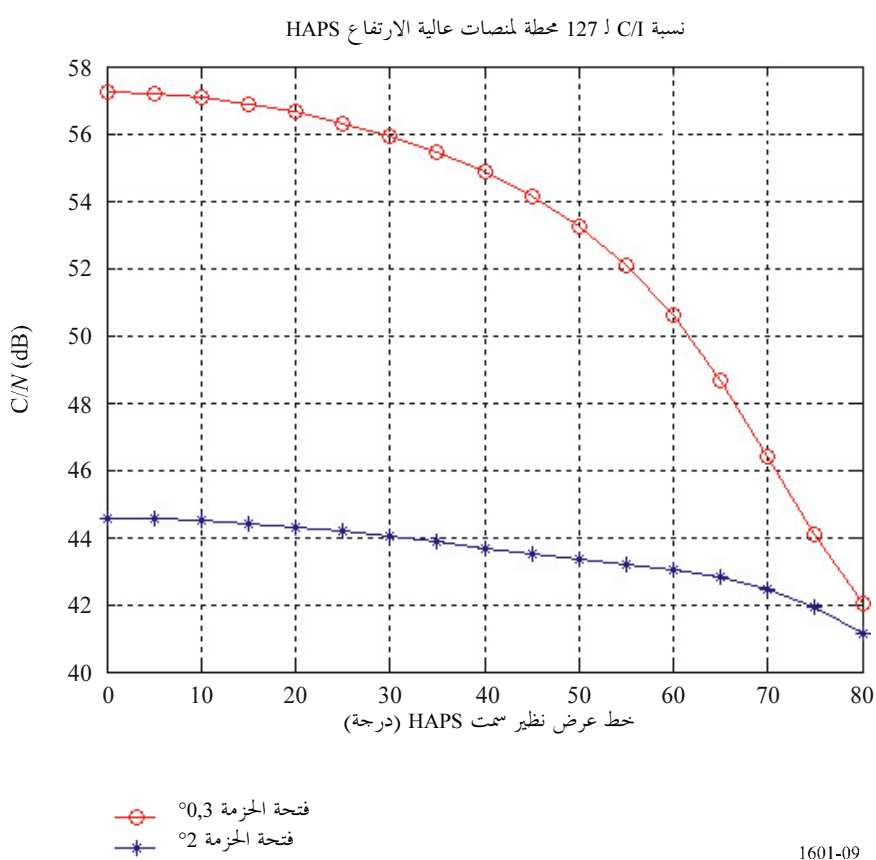
1.3 الحالة 1

من المفترض في الحالة 1 أن يكون موقع السواتل المعّرض للتداخل على خط الاستواء عند خط الطول 0° وأن تكون حزمة السواتل موجهة دائماً نحو المحطة الأرضية التي تقع دائماً في مركز تغطية المحطة HAPS. ويفترض أن يكون نظام HAPS مكوناً من 127 سفينة فضائية مع هوائي 367 حزمة متعددة، ويكون نصف قطر خدمة كل سفينة فضائية واحدة هو .km 55

ويستدل من الشكل 9 على أن نظام HAPS يتحرك باتجاه القطب الشمالي، حيث تتناقص نسبة الموجة الحاملة إلى التداخل C/I للساتل المستقر بالنسبة إلى الأرض (GSO).

الشكل 9

نسبة C/I لمدار السواتل المستقرة بالنسبة إلى الأرض بسبب 127 سفينة فضائية تابعة للمحطة HAPS (الحالة 1)



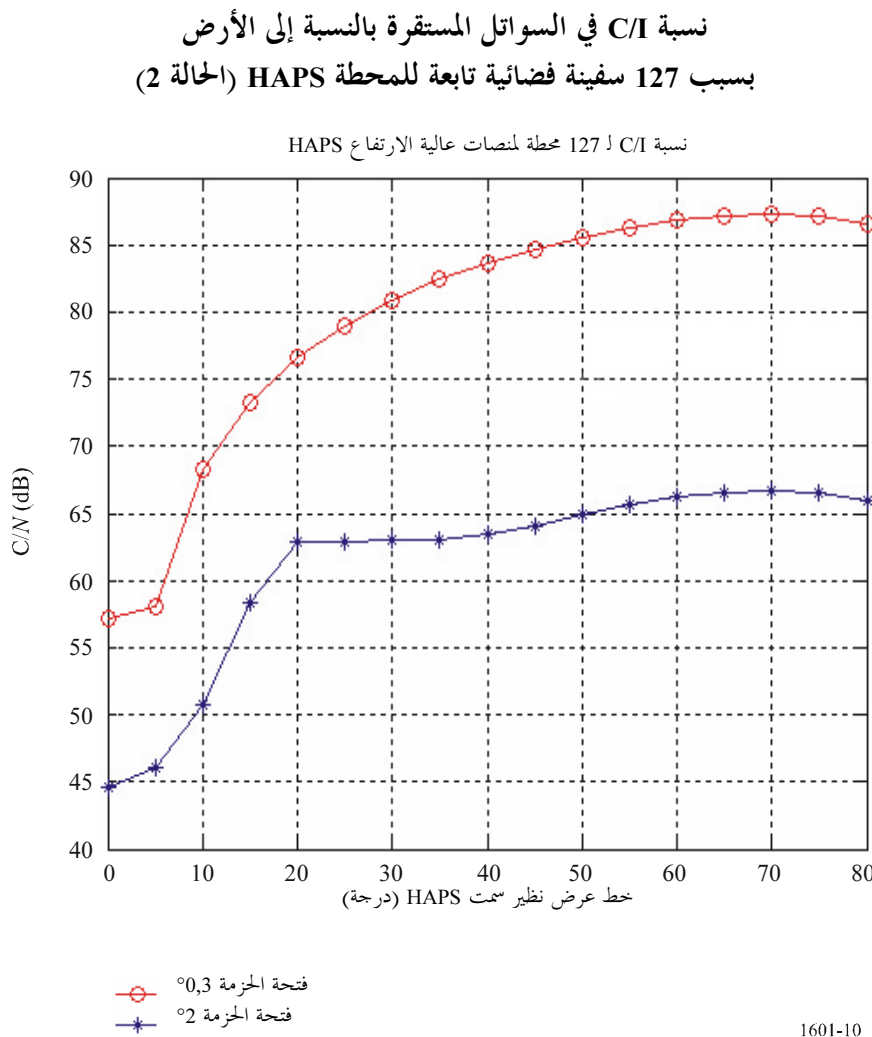
1601-09

2.3 الحالة 2

من المفترض في الحالة 2 أن يكون موقع الساتل المعرض للتداخل على خط الاستواء عند خط الطول 0 درجة، لكن حزمة الساتل موجهة إلى المحطة الأرضية عند خط طول 0 درجة وخط عرض 0 درجة، أي، أن تقع المحطة الأرضية في موضع ثابت على خط الاستواء.

ويبين الشكل 10 نسبة الموجة الحاملة إلى التداخل في الساتل المستقر بالنسبة إلى الأرض (GSO) بسبب نظام المطبات HAPS الذي يتتألف من 127 سفينة فضائية فيما يتعلق بخط العرض. ويستدل من الشكل 10 على أن نظام المطبات HAPS يتوجه نحو القطب الشمالي، وأن نسبة الموجة الحاملة للسواتل المستقرة بالنسبة إلى الأرض (GSO) تزيد على نتيجة الحالة 1.

الشكل 10



الملخص

4

يُظهر التذليل مثل C/I طريقة (نسبة الموجة الحاملة إلى التداخل) بقصد تقدير التداخل من السفن الفضائية لمحطات HAPS في سائل مستقر بالنسبة إلى الأرض (GSO).

وفي حالة المحطة الأرضية الواقعة على خط نظير سمت HAPS (الحالة 1)، تتضاعل قيمة نسبة الموجة الحاملة إلى التداخل مع زيادة الارتفاع (أي مع انخفاض، زاوية ارتفاع السائل). وعلى العكس من ذلك، ففي حالة المحطة الأرضية الواقعة في نقطة ثابتة على خط الاستواء، تزداد نسبة الموجة الحاملة إلى التداخل مع زيادة خط العرض.

وسوف تلزم بالضرورة طريقة تقدير نسبة الموجة الحاملة إلى التداخل من أجل تقدير التداخل من وصلة هابطة للخدمة الثابتة التي تستخدم محطات HAPS إلى الوصلة الصاعدة في الخدمة الثابتة السائلية التي تستخدم سواتل مستقرة بالنسبة إلى الأرض في الطاقم 28,35-27,5 GHz عندما تُحدَّد مستويات التداخل التي تسهم في اختطاط الأداء معأخذ جميع طائق التشكيل وأنماث الإشارات في الاعتبار.